

# ارائه‌ی روش تسريع شده‌ی مبتنی بر یادگیری تقویتی توزیع شده، در سیستمهای چند عامله

سارا اسفندیاری<sup>۱</sup>، بهروز معصومی<sup>۲</sup> و محمد رضا میبدی<sup>۳</sup>

## چکیده

در این مقاله، الگوریتم جدیدی مبتنی بر یادگیری تقویتی توزیع شده، برای افزایش سرعت یادگیری، در الگوریتم‌های یادگیری تقویتی، ارائه شده است. در این روش، برای هر حالت از محیط، یک عامل مجازی وجود دارد که مسئول یادگیری در آن حالت است. عامل مجازی، برای یادگیری از الگوریتم Q-Learning استفاده می‌کند. در روش پیشنهادی، یکتابع بهبود یافته‌ی جدید برای انتخاب عمل در هر حالت، پیشنهاد شده است که موجب تسريع در الگوریتم‌های مبتنی بر Q-Learning می‌شود. برتری تابع پیشنهادی با انجام آزمایشات متعدد و تحلیل‌های ریاضی به اثبات رسیده است. از الگوریتم مذکور، برای حل بازی‌های مارکوف استفاده شده است. نتایج بدست آمده در آزمایش‌ها، نشان می‌دهد که الگوریتم پیشنهادی از لحاظ تعداد حرکات لازم برای رسیدن به پاسخ بهینه و میانگین پاداش‌های بدست آمده، دارای کارایی بسیار بالایی نسبت به روش‌های قبلی است.

## کلمات کلیدی

الگوریتم Q-Learning، بازی مارکوف، سیستمهای چندعامله، توزیع بولتزمن، یادگیری تقویتی، یادگیری ماشین.

## Accelerated Method Based on Distributed Reinforcement Learning in Multi-Agent Systems

Sara Esfandiari ; Behrooz Masoumi ; Mohammad reza Meybodi

### ABSTRACT

In this paper, has been proposed a new method using distributed Reinforcement Learning to increase rate of learning in Reinforcement Learning Algorithms. In this recommended method, for every state of the environment, a virtual agent that is responsible for learning in this state. Virtual agents use Q-Learning Algorithms for learning best policy. In this method, used a new optimized function has been proposed to select the action, which has led to an increase in algorithms based on Q-Learning. The superiority of proposed function, with variety experimental and mathematical analysis has been proved. The mentioned algorithm, has been used for solving the problem of cooperative Markov Games. The results gained during the experiments show that in comparison with the previous methods, the recommended algorithm has a very high efficiency from the perspective of the number of movements needed for achieving the optimized answer and the average of rewards gained.

### KEYWORDS

Q-Learning Algorithms, Markov Games, Multi agent Systems, Boltzmann function, Reinforcement Learning, Machine Learning

<sup>۱</sup>دانشجوی کارشناسی ارشد دانشکده مهندسی کامپیوتر و فناوری اطلاعات، دانشگاه آزاد اسلامی واحد قزوین، Sara.esfandiari@gmail.com

<sup>۲</sup>عضو هیات علمی دانشکده مهندسی کامپیوتر و فناوری اطلاعات، دانشگاه آزاد اسلامی واحد قزوین، Masoumi@Qiau.ac.ir

<sup>۳</sup>عضو هیات علمی دانشکده مهندسی کامپیوتر، دانشگاه صنعتی امیر کبیر، تهران، MMeybodi@aut.ac.ir

یک سیستم چندعامله<sup>۱</sup>، شامل مجموعه‌ای از عامل‌های هوشمند و خودمختار است که هر یک به طور جداگانه با محیطی اشتراکی در ارتباط هستند، تا بتوانند به هدف مشخصی برسند<sup>[۱]</sup>. عامل‌ها، موجودیت‌های محاسباتی هستند که به وسیله سنسورهایشان قادر به مشاهده‌ی محیط پیرامون خود هستند. این عامل‌ها بایستی قادر باشند که در هر لحظه عمل مناسی را بر اساس مشاهدات خود انجام دهند. در حال حاضر از سیستم‌های چندعامله در زمینه‌ی مدیریت منابع، سیستم‌های کنترل توزیع شده، سیستم‌های نظامی و مخابراتی و تیم‌های روباتیکی و داده‌کاوی، استفاده فراوانی می‌شود<sup>[۲]</sup>. با توجه به اینکه عامل‌ها در سیستم‌های چندعامله، با مسئله‌ی کمبود یا فقدان اطلاعات درباره‌ی محیط مواجه هستند و شناخت کاملی از محیط وجود ندارد، بنابراین بدون وجود روشی برای ایجاد هماهنگی میان عامل‌ها، ممکن است سیستم دچار هرج و مرج شده و از رسیدن به هدف نهایی بازماند<sup>[۳]</sup>. تاکنون روش‌های مختلفی برای حل مسئله‌ی هماهنگی عامل‌ها در سیستم‌های چندعامله، به وجود آمده است. در این میان، الگوریتم‌های یادگیری تقویتی<sup>۲</sup> به عنوان ابزاری برای دستیابی به رفتار هماهنگ، به خاطر سادگی و استحکامی<sup>۳</sup> که دارند، مورد توجه قرار گرفته است. الگوریتم‌های یادگیری تقویتی در هر مرحله‌ی زمانی، به عامل اجازه می‌دهند که بر اساس مشاهدات خود از محیط، یک عمل را انجام دهد و به حالت جدیدی وارد شود، سپس یک سیگنال پاداش که نشان‌دهنده‌ی کیفیت عمل انتخاب شده است، از محیط دریافت کند. روش‌های مبتنی بر یادگیری تقویتی به دو دسته تقسیم-بندي می‌شوند: دسته‌ی اول آنها برای هستند که هیچ‌گونه فرضی در مورد ارتباط بین عامل‌ها در نظر نمی‌گیرند و به نام یادگیرنده‌های مستقل<sup>۴</sup> نامیده می‌شوند و دسته‌ی دوم، آنها هستند که فرض می‌کنند، عامل‌ها می‌توانند آعمال عامل‌های دیگر را مشاهده نموده و از این مشاهدات برای بهبود هماهنگی استفاده می‌کنند، این روش را روش یادگیری با اعمال مشترک<sup>۵</sup> می‌نامند<sup>[۴]</sup>.

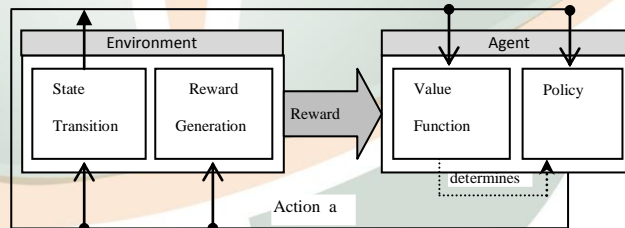
تاکنون برای مدل‌سازی سیستم‌های چندعامله، مدل‌های مختلفی پیشنهاد شده است؛ مدل بازی‌های مارکوف<sup>۶</sup> (MG)، یکی از این مدل‌های<sup>[۵]</sup> این مدل، توسعه‌ای از فرآیندهای تصادفی مارکوف<sup>۷</sup> (MDP)، به حالت چندعامله است. بازی‌های مارکوف بر اساس پاداش عامل‌ها به دو دسته‌ی همکارانه<sup>۸</sup> و غیرهمکارانه<sup>۹</sup> تقسیم‌بندی می‌شوند. در بازی‌های همکارانه، عامل‌ها هدف مشترکی را دنبال می‌کنند و نیز می‌توانند از آعمال عامل‌های دیگر مطلع شوند و تصمیم‌گیری‌های خود را بر اساس مشاهدات خود از محیط و اعمال عامل‌های دیگر اتخاذ نمایند<sup>[۷]</sup>. اگر همه‌ی عامل‌ها پاداش یکسانی را دریافت کنند، آنها را بازی‌های کاملا همکارانه (MMDP) می‌نامند<sup>[۸]</sup>. در بازی‌های غیرهمکارانه، عامل‌ها هدف مشترکی ندارند و هر عامل سعی می‌کند، هدف خود را ماقریم نماید. این بازی‌ها به دو گروه بازی‌های با مجموع صفر<sup>۱۰</sup> (رقابتی) و بازی‌های با مجموع کلی<sup>۱۱</sup> (غیررقابتی) تقسیم‌بندی می‌شوند. در بازی‌های با مجموع صفر، دو عامل در بازی وجود دارد که پاداش اولی قرینه‌ی پاداش دومی است. در مقابل، در بازی‌های با مجموع کلی (غیررقابتی)، به عامل‌ها اجازه داده می‌شود که هر پاداش دلخواهی را دریافت کنند. در بازی‌های کاملا همکارانه، با توجه به اینکه همه‌ی عامل‌ها پاداش یکسانی دریافت می‌کنند، عامل‌ها بایستی یاد بگیرند، تا در مورد سیاست بهینه، توافق نمایند. در مقابل، در بازی‌های مارکوفی مجموع کلی، به دلیل وجود پاداش‌های متفاوت، پیدا کردن راه حل بهینه مشکل بوده و لذا نقاط تعادل بازی<sup>۱۲</sup> (سیاست تعادل نش<sup>۱۳</sup>) مورد جستجو قرار می‌گیرد. تعادل نش، وضعیتی است که هیچ عاملی به تنهایی نمی‌تواند برای بهبود پاداشش، سیاستش را تغییر دهد تا زمانی که تمام عامل‌های دیگر سیاستشان را ثابت نگهداشند. برای پیدا کردن راه حل بهینه در بازی‌های مارکوفی، اعم از رقابتی و غیررقابتی، الگوریتم‌های یادگیری تقویتی مختلفی، به کار رفته‌اند. در سال ۱۹۹۴، الگوریتم minimax برای بازی‌های رقابتی پیشنهاد شد<sup>[۹]</sup>. در سال ۲۰۰۳، این الگوریتم برای بازی‌های با مجموع کلی، بازنگری شدو آن را Nash-Q نامیدند که تحت شرایط خاص به سیاست تعادل نش همگرا می‌شود<sup>[۱۰]</sup>. در سال ۲۰۰۰، الگوریتم Distributed Q-Learning برای عامل‌های مستقل معرفی شد، ثابت شده است که این الگوریتم به سمت تعادل نش همگرا می‌شود، با اینحال در این الگوریتم از هیچ‌گونه مکانیزم هماهنگی استفاده نشده است<sup>[۱۱]</sup>. در سال ۲۰۰۴، الگوریتمی به نام FMQ معرفی شده است که مقادیر Q هر عمل در استراتژی بولتزمن را توسط تابع جدیدی، تغییر می‌دهد و بدین ترتیب باعث همگرایی زودتر به سمت سیاست بهینه می‌شود<sup>[۱۲]</sup>. در سال ۲۰۰۷، الگوریتمی به نام Hysteretic Q-Learning، معرفی شده است که با اضافه کردن پارامتر جدیدی به روش FMQ، باعث بهبود عملکرد الگوریتم شده است<sup>[۱۳]</sup>.

در الگوریتم‌های یادگیری تقویتی برای حل مسئله‌ی همکاری در سیستم‌های چندعامله، برای هر یک از عامل‌ها، جدولی موسوم به Q-table در نظر گرفته می‌شود. با افزایش فضای حالات محیط و آعمال عامل‌ها، کارکرد این الگوریتم‌ها بدلیل بزرگی حجم اطلاعات جداول Q-table با مشکل مواجه می‌شود. در این مقاله، برای حل این مشکل، از الگوریتم جدید توزیع شده، که در آن، برای هر یک از عامل‌ها در هر حالت از محیط، یک جدول در نظر گرفته شده است، استفاده شده است. یکی از راه‌های افزایش سرعت الگوریتم‌های یادگیری تقویتی، بهبود تابع انتخاب عمل است. در [۱۲، ۳] نمونه-هایی از این توابع ارائه شده‌اند. این توابع برای انتخاب عمل در هر حالت به کار برده شده‌اند. در این مقاله، به منظور افزایش سرعت یادگیری سیاست بهینه برای بازی‌های مارکوف در حالت عامل‌های مستقل، الگوریتم جدیدی مبتنی بر یادگیری تقویتی توزیع شده به نام Dist-BSAQL پیشنهاد می-شود، که در آن، از یک تابع بهبودیافته‌ی جدید، برای انتخاب عمل در هر حالت استفاده می‌شود. نتایج شبیه‌سازی‌های انجام شده بر روی محیط Grid World نشان می‌دهد که الگوریتم پیشنهادی، نسبت به روش‌های موجود، کارایی بهتری از نظر سرعت دارد. در ادامه‌ی مقاله، ابتدا در بخش ۲ مفاهیم اولیه، و در بخش ۳ الگوریتم پیشنهادی شرح داده می‌شود و بخش ۵ به بررسی رفتار الگوریتم پیشنهادی و تحلیل آن، اختصاص یافته است و بخش ۶ نتیجه‌گیری است.

۲۰۱۷

۱-۲ پادگیری تقویتی

یک عامل یادگیر تقویتی، رفتارش را از طریق تعامل با یک محیط ناشناخته و مشاهده‌ی نتایج اعمالش، تعیین می‌کند<sup>[۱۶]</sup>. ایده‌ی یادگیری تقویتی در شکل ۱ آمده است. در شکل ۱، ابتدا عامل، حالت فعلی سیستم ( $S$ ) را دریافت می‌کند. با استفاده از یکتابع تصمیم‌گیرنده(Policy) عمل  $a$  مشخص می‌شود و عامل پس از اعمال عمل  $a$  بر روی محیط، پاداش  $r$  را دریافت می‌کند. سپس با استفاده از مقادیر  $a$  و  $S$  و  $r$  مقدار تابع یادگیر تقویتی توسط تابع ارزیابی<sup>۱۴</sup>، بروزرسانی می‌شود. الگوریتم‌های یادگیری تقویتی، سعی می‌کنند که سیاست‌هایی را برای نگاشت حالت‌ها به عمل‌هایی که هر عامل باید در آن حالت انجام دهد، پیدا کنند.



### شکل ۱- مدل یادگیری تقویتی

در الگوریتم‌های یادگیری تقویتی، معمولاً محیط به صورت یک فرآیند تصادفی مارکوف<sup>۱۵</sup> (MDP) مدل می‌شود. یک MDP یک چهارتایی به صورت  $T : S \times A \times S \rightarrow [0,1]$  است که در آن  $S$  مجموعه متناهی از حالت و  $A$  مجموعه‌ای از عملیات قابل دسترس برای عامل  $r : S \times A \rightarrow \mathbb{R}$  است که در آن  $r$  تابع فعلی به حالت بعدی و  $r : S \times A \rightarrow \mathbb{R}$  تابع پاداش است. هدف، پیدا کردن سیاستی به صورت  $\pi : S \rightarrow A$  است به گونه‌ای که میانگین پاداش دریافتی در طول زمان بیشینه گردد. برای هر خط مشی نظریه  $\pi$  که عامل می‌تواند دنبال کند، بر روی وضعیتها تابعی به نام تابع ارزیابی تعریف می‌شود. الگوریتم Distributed Q-Learning یکی از تکنیک‌هایی است که برای تابع ارزیابی، استفاده می‌شود، که در سال ۲۰۰۰ در [۱۶] معرفی شده است. شبکه کد الگوریتم Distributed Q-Learning در شکل ۲ آمده است. در این الگوریتم، برای هر عمل  $a$  در هر حالت  $s$  مقدار ارزش آن عمل  $(Q(s,a))$  مطابق رابطه‌ی ۱ تعیین می‌شود. در رابطه‌ی ۱،  $\alpha$  نرخ یادگیری و  $\gamma \in [0,1]$  فاکتور کاهش است. ایده‌ی اصلی در این الگوریتم، این است که سیاست کنونی عامل فقط زمانی بروزرسانی می‌شود که پیشرفتی در ارزیابی تابع ارزش  $Q_{i,\max}$  رخ دهد. الگوریتم زمانی به پایان می‌رسد که سیاست پیشنه برای مدت زمان معینی تغییر نکند.

$$q \leftarrow r + \gamma_{u \in A_i} \max Q_i(S', u)$$

$$Q_i(S, a) = f(x) = \begin{cases} (1 - \alpha)Q_i(S, a), & \text{if } Q_i(S, a) \leq q \\ Q_i(S, a), & \text{else} \end{cases} \quad (1)$$

#### Algorithm Distributed Q-Learning

```

1. Initialize;
2. for all  $a \in A_i$  and  $s \in S$  do
3.    $Q_{i,max}(S, a) \leftarrow \cdot$ ;  $\pi_i(S, a)$  arbitrarily
4. end for.
5.  $s \leftarrow \text{initial State}$ 
6. while  $s$  is not absorbing state do
7.   from  $s$  select  $a$  according to EQ(٤) Selection Method based on  $\pi_i$ 
8.   Apply  $a$  and observe reward  $r$  and next state  $S'$ 
9.    $q \leftarrow r + \gamma \max_{u \in A} Q_i(S', u)$ 
10.  if  $q \geq Q_i(S', a)$  then
11.     $Q_{i,max}(S, a) \leftarrow (1 - \alpha)Q_i(S, a) + \alpha q$ 
12.  end if.
13.  if  $(Q_{i,max}(S, \arg \max_{u \in A} \pi_i(S, u)) \neq \max_{u \in A} Q_{i,max}(S, u))$  then
14.    select a random action  $a_{max} \in \arg \max_{u \in A} Q_{i,max}(S, u)$ 
15.     $\forall b \in A_i \pi_i(S, b) \leftarrow f(x) = \begin{cases} 1, & \text{if } b = a_{max} \\ 0, & \text{else} \end{cases}$ 
16.  end if.
17.   $S \leftarrow S'$ 
18. end.

```

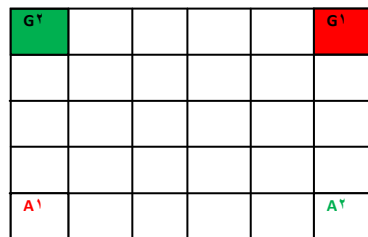
شکل ۲- شبکه‌کد الگوریتم Distributed Q-Learning

معمولًاً برای انتخاب عمل در هر حالت (Policy)، از روش توزیع بولتزمن (Boltzmann Selection Method) استفاده می‌شود. در رابطه‌ی ۲، تعداد اعمال محاز برای حالت  $S$  و  $\tau$  یک ثابت است و  $Q(S, a)$  مقدار تابع ارزیابی حالت  $S$  را هنگامی که عمل  $a$  انجام می‌گیرد، نشان می‌دهد.

$$\pi_1(S) = \arg \max \left( \frac{e^{\frac{Q(S,t)}{\tau}}}{\sum_{j=1}^m e^{\frac{Q_j(S,t)}{\tau}}} \right) \quad (2)$$

## ۲-۲- بازی‌های مارکوف

بازی مارکوف، تعیین یافته‌ی مسئله‌ی تصمیم‌گیری مارکوف (MDP) به حالت چندعامله است. یک بازی مارکوفی، یک چندتایی  $< n, S, A_1, \dots, A_n, T, r_1, \dots, r_n >$  است که  $n$  تعداد عامل‌های موجود در محیط و  $S$  مجموعه‌ی متناهی از حالت‌محیط و  $A_i$  مجموعه‌ی متناهی از اعمال قابل دسترس برای عامل  $i$ ،  $(A_1, \dots, A_n)$  مجموعه‌ی اعمال قابل دسترس برای هر کدام از عامل‌های موجود در محیط است) و  $[0, 1] \rightarrow [0, 1]$  تابع انتقال و  $R_i : S \times A_i \rightarrow R$  تابع پاداش  $i$  این عامل  $R_i : S \times A_i \rightarrow R$  تابع پاداش بدست آمده برای هر یک از عامل‌های موجود در محیط است). یکی از بازی‌های استفاده شده برای بازی‌های مارکوف چندعامله، بازی Grid World است که در [۵] معرفی شده است. در این بازی، دو عامل مستقل از مراحل ردیف پایین شروع به بازی می‌کنند و سعی می‌کنند که سلوی هدفشان را در مراحل بالایی، پیدا کنند. یک عامل فقط می‌تواند در یک لحظه، به داخل یک سلو، حرکت کند. چهار عمل ممکن برای هر عامل وجود دارد: بالا، پایین، چپ، راست. اگر دو عامل سعی کنند که به خانه‌های یکسانی وارد شوند، بجز حالت هدف، به سلوی قبلی خود بازگشت خورده و هر دو عامل، ۱- واحد جریمه می‌شوند. به محض اینکه یکی از عامل‌ها به حالت هدف رسید، بازی به پایان می‌رسد و عاملی که به حالت هدف رسیده است  $+100$  واحد پاداش دریافت می‌کند. هدف یک عامل این است که با مینیمم تعداد حرکات بتواند به حالت هدف برسد. یک سیاست (استراتژی)، دنباله‌ی اعمال انجام گرفته از حالت شروع به حالت پایان است. کوتاهترین مسیری که اجازه دهد تا یک عامل بتواند هر چه زودتر به هدف برسد، یک استراتژی بهینه است. شکل ۳ نمونه‌ای از این بازی است. استراتژی بهینه در شکل ۳ شامل ۹ حرکت است.



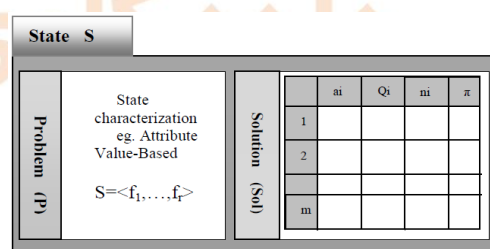
شکل ۳- نمونه‌ای از بازی Grid World

### ۳. الگوریتم پیشنهادی

در این بخش، یک الگوریتم جدید مبتنی بر یادگیری تقویتی توزریع شده برای عامل‌های مستقل، به منظور افزایش سرعت همگرایی در بازی‌های مارکوف، موسوم به Dist BSAQL ارائه شده است. یکی از چالش‌های مهم در الگوریتم‌های یادگیری تقویتی، سیاست انتخاب عمل<sup>۱۶</sup> است. برای این منظور، معمولاً از توزیع بولتزمن (رابطه‌ی ۲) استفاده می‌شود. در رابطه‌ی ۲، پارامتر  $\tau$ ، پارامتر دما بوده و میزان تصادفی بودن جستجو را کنترل می‌کند و معمولاً به دو صورت به کار برده می‌شود. اول اینکه، به صورت یک ثابت که در طول فرآیند یادگیری، مقدار آن همواره ثابت است، دوم اینکه، به صورت تابعی از زمان، که در طول فرآیند یادگیری، مقدار  $\tau$  کاهش می‌یابد. در هر دو صورت، امکان تعیین مقدار دقیق و بهینه  $\tau$  برای مسائل واقعی مشکل بوده و در صورتی که مقدار  $\tau$  به درستی تعیین نشود، ممکن است الگوریتم هرگز به سمت سیاست بهینه همگرا نشود. در این مقاله، به منظور حل این مشکل، تابع جدیدی را پیشنهاد می‌کنیم که در آن نیازی به سیت کردن هیچ‌گونه پارامتر اضافی نبوده و مکانیزم انتخاب عمل، توسط مقادیر داخلی الگوریتم انجام شود. تابع پیشنهادی در رابطه‌ی ۳ آمده است. در رابطه‌ی ۳،  $m$  تعداد اعمال مجاز برای حالت  $S$  و  $n(S,a)$  تعداد دفعاتی است که تاکنون عمل  $a$  انتخاب شده است و  $Q(S,a)$  مقدار تابع ارزیابی حالت  $S$  را هنگامی که عمل  $a$  انجام می‌گیرد، نشان می‌دهد.

$$\pi_2(S) = \frac{e^{n(S,a) \times Q(S,a)}}{\sum_{i=1}^m e^{n_i(S,a) \times Q_i(S,a)}} \quad (3)$$

در روش پیشنهادی، از رابطه‌ی ۳ برای انتخاب عمل عامل‌ها در هر حالت استفاده شده است. در الگوریتم پیشنهادی، به ازای هر یک از حالات محیط و به ازای هر عامل اصلی، از ساختار داده‌ی شکل ۴ استفاده می‌شود.



شکل ۴- ساختار داده یک عامل مجازی در الگوریتم پیشنهادی Dist BSAQL

ساختار داده شکل ۴، از دو قسمت به صورت  $State(S) = <Prob, Q_{table}>$  تشکیل شده است، که  $Prob$  توصیف کننده مسئله و  $Q_{table}$  حاوی مقادیر تابع ارزیابی برای هر یک از اعمال حالات  $S$  است. در الگوریتم پیشنهادی، توصیف کننده مسئله  $(Prob)$  به صورت  $Prob(S)=\{m, <Up,$

برای هر حالت و index اندیس هر حالت است. جدول تابع ارزیابی برای هر مسئله  $Q_{table}(S) = \langle \vec{E} \rangle$  است که در آن بردار  $\vec{E}$  به صورت  $(\vec{E}[1], \dots, \vec{E}[m])$  لیستی از تجربیات جمع آوری شده از محیط توسط عامل برای حالت S است. (m تعداد اعمال مجاز برای حالت S است). هر بردار  $\vec{E}$  شامل یک چهارتایی  $e = \langle a_i, Q_i, n_i, \pi_i \rangle$  است که  $a_i$  عمل مجاز برای حالت S و  $n_i$  تعداد دفعاتی که عمل  $a_i$  بروز رسانی شده است و  $Q_i$  مقدار تخمین زده شده برای تابع ارزیابی  $Q(S, a)$  است.  $\pi'_i$  احتمال انتخاب عمل  $a_i$  است که توسط تابع پیشنهادی (رابطه‌ی ۳) محاسبه می‌شود. در الگوریتم BSAQL، برای هر حالت و به ازای هر عامل اصلی، یک عامل مجازی، وجود دارد. عامل مجازی در هر حالت، مسئول یادگیری عمل بهینه در آن حالت است. در الگوریتم Dist BSAQL، فرآیند یادگیری، براساس الگوریتم یادگیری تقویتی Distributed Q-Learning می‌باشد. هر بار که عامل اصلی  $Aent_i^c$  وارد حالت جدید S می‌شود، یک درخواست help به عامل مجازی  $Aent_i^c$  آن حالت، ارسال می‌کند. عامل مجازی با استفاده از مکانیزم جدید  $X_i = Select\_index()$  که در آن از تابع پیشنهادی استفاده می‌کند، اقدام به انتخاب عمل بهینه با اندیس  $X_i$  می‌نماید. برای این منظور، به ازای هریک از لیست‌های  $e = \langle a_i, Q_i, n_i, \pi_i \rangle$  را با استفاده از رابطه‌ی ۳ محاسبه می‌کند. در واقع  $(a_i)_i \pi'_i$  احتمال انتخاب عمل  $a_i$  را در حالت کنونی، نشان می‌دهد. بعد از محاسبه مقادیر احتمال هر یک از اعمال، برای انتخاب عمل نهایی به عنوان عمل بهینه عامل در حالت کنونی از روش max که اکثر محققین از آن استفاده کرده‌اند، استفاده می‌کند. یعنی عملی که دارای بزرگترین مقدار  $(a_i)_i \pi'_i$  است به عنوان عمل بهینه انتخاب می‌شود و آن را به عنوان عمل بهینه به عامل اصلی  $Aent_i^c$  بر می‌گرداند. سپس عامل اصلی  $Aent_i^c$ ، عمل  $X_i$  را بر محیط اعمال نموده و پاداش  $r_i$  را دریافت می‌کند و مقدار تابع ارزیابی  $Q(S, x_i)$  را بروزرسانی می‌کند و لیست  $Q_{table}$  را بر حسب مقدار تابع ارزیابی Q به صورت نزولی مرتب می‌کند و مقدار  $n_i$  را یک واحد افزایش می‌دهد. شبیه کد الگوریتم Dist BSAQL در شکل ۵ آمده است.

#### Proposed Algorithm Dist BSAQL

1. Let t be the global time ,  $\gamma$  the discount factor , n the number of mobile agents ,  $s=s' \in S$  to the initial State.
2. Repeat
3.      $S=S'$
4.     for all agents  $i \in [1..n]$  do
5.          $x_i = Send(help, agent'(S))$
6.         Select action  $a_i = S.SOL[x_i].a_i$
7.         Observe Successor state  $s' \in S$
8.         Set Learning Rate  $\alpha_i = \frac{1}{1+S.Q_{table}[x_i].n}$
9.         Set  $S.Q_{table}[x_i].Q_i$  according to EQ(1)
10.         Set  $S.Q_{table}[x_i].n_i = S.Q_{table}[x_i].n_i + 1$
11.         Resort decremently the experience list  $Q$  in  $S.Sol$
12.     end for.
13. Until Stop\_Criterion() becomes true
14. //-----
15. Send (help, Agent' $s'$ )
16. begin:
17.     Set index  $x_i$  according to EQ (3)
18.     Return  $\max(S.Q_{table}. \pi_i)$
19. end.

شکل ۵- شبیه کد الگوریتم پیشنهادی Dist BSAQL

#### ۴. شبیه‌سازی‌های انجام شده در محیط Grid World و تحلیل آن‌ها

برای ارزیابی کارایی الگوریتم Dist BSAQL از یک بازی Grid World مطابق شکل ۳ با ۳۰ حالت و دو عامل مستقل  $A_1$  و  $A_2$  که دارای هدف‌های جدایگانه‌ای هستند، استفاده شده است. هدف ما این است که نشان دهیم آیا الگوریتم Dist BSAQL که در آن از تابع بهبود یافته‌ی جدیدی برای انتخاب عمل استفاده شده است، عملکرد بهتری نسبت به زمانی که برای انتخاب عمل از تابع بولتزمن استفاده می‌شود، دارد؟ به همین منظور، الگوریتم

Distributed Q-Learning را با الگوریتم BSAQL Dist نامیده است و در آن از توزیع بولتزمن (رابطه‌ی ۲) برای انتخاب عمل استفاده شده است، مقایسه کرده‌ایم.

**آزمایش ۱: تعیین مقدار پارامتر  $\gamma$**  - یکی از فاکتورهای مهم تعیین کننده در نتایج الگوریتم های مبتنی بر یادگیری  $Q$ ، مقدار نرخ کاهش  $\gamma$  است که تعیین مقدار دقیق آن، باعث کارایی بهتر الگوریتم ها، می شود. اگر  $\gamma \rightarrow 1$  باشد، اهمیت پاداش های تجمعی بلندمدت در فرآیند یادگیری، بسیار بالاتر از پاداش های بلافصل کوتاه مدت، در نظر گرفته می شود. و در مقابل، اگر  $\gamma = 0$  باشد، اهمیت پاداش های بلافصل کوتاه مدت، بیشتر خواهد بود. برای این منظور، الگوریتم پیشنهادی و الگوریتم Distributed Q-Learning را به تعداد ۵۰۰ بار به ازای مقادیر مختلف  $\gamma$  اجرا کرد - آیم و نتیجه هی بدست آمده در جدول ۱ و ۲ آمده است. طبق نتایج بدست آمده در جدول ۲ مشاهده می شود که الگوریتم Dist BSAQL با هر سه مقدار  $\gamma$  صدرصد موقع به سمت پاسخ بهینه همگرا می شود و میانگین پاداش های بدست آمده به ازای هر سه مقدار  $\gamma$  تقریبا باهم برابر هستند ولی میانگین تعداد حرکات انجام شده، هنگامی که  $\gamma = 0.9$  است، کمتر است. بنابراین، در همه آزمایشات انجام شده برای این الگوریتم، مقدار  $\gamma = 0.9$  قرار داده می شود. در جدول ۱ مشاهده می شود که الگوریتم Distributed Q-Learning با هر سه مقدار  $\gamma$  صدرصد موقع به سمت پاسخ بهینه همگرا می شود و پادash های بدست آمده نیز تقریبا برابر است ولی تعداد حرکات لازم برای همگرایی هنگامی که  $\gamma = 0.7$  است، کمتر می باشد. بنابراین، در همه آزمایشات انجام شده برای الگوریتم Distributed Q-Learning، مقدار  $\gamma = 0.7$  قرار داده می شود.

**جدول ١- نتائج ٥٠٠ بار اجر ای الگوریتم Dist BSAQL بروی محیط Grid World**

episode	تعداد حرکات لازم برای همگرایی			میانگین تعداد حرکات انجام شده			پاداش			درصد همگرایی به سمت سیاست بهینه		
	0.5	0.7	0.9	0.5	0.7	0.9	0.5	0.7	0.9	0.5	0.7	0.9
200	13.56	11.27	13.24	30	14.4	17.2	100.15	100.15	100	100	100	100
400	10.09	13.01	8.22	28	84.3	14.4	100	100.25	100.02	100	100	100
600	8.15	8.21	7.09	29.5	21.8	15.3	100	109.65	100	100	100	100
800	7.50	7.3	7.61	25.4	16.5	17.9	100.92	100	100.02	100	100	100
1000	7.27	7.3.	7.30	31	24	17.8	100	100.04	100	100	100	100
1200	7.41	7.73	7.54	23.9	22.9	15.3	100	100.01	100	100	100	100
1400	7.74	7.17	8.09	27.5	40.5	17.7	100.02	127.41	100	100	100	100
1600	6.69	7.18	6.6	24	49.3	13.7	100	109.03	100	100	100	100
1800	6.63	7.20	6.69	24.9	165.8	15.9	100	118.98	109.95	100	100	100
2000	6.56	7.19	6.75	24.3	25.8	17.5	100	100.01	100	100	100	100
2200	6.88	7.44	6.71	24.5	50.7	11.7	100	137.76	100	100	100	100
2400	6.75	7.12	6.43	24.9	38.5	14.7	100	128.8	109.95	100	100	100
2600	6.93	6.88	6.30	33.9	48.5	29.2	100	102.8	100	100	100	100
2800	6.29	6.42	6.68	22	29.8	20.3	100	109.47	100.01	100	100	100
3000	6.27	6.41	6.85	22	638.8	13.2	100	100.07	100	100	100	100
میانگین	7.64	7.89	7.47	26.38	84.77	16.78	100.07	109.62	101.33	100	100	100

جدول ٣- نتائج ٥٠٠ بار اجراء الگوریتم Distributed Q-Learning بر روی محیط Grid World

episode	تعداد حرکات لازم برای همگرایی			میانگین تعداد حرکات انجام شده			پاداش			درصد همگرایی به سمت سیاست بهینه		
	0.5	0.7	0.9	0.5	0.7	0.9	0.5	0.7	0.9	0.5	0.7	0.9
200	۱۰,۷۴	۱۹,۵۴	۳۹,۲۱	۲۳,۷	۲۱,۷	۱۸,۹	۱۰۰,۱	۱۰۰,۰۵	۱۰۰,۰	۱۰۰	۱۰۰	۱۰۰
400	۱۶,۰۹	۱۵,۹۲	۲۸,۶۲	۲۶,۱	۱۹,۷	۱۶,۲	۱۰۹,۰	۱۰۰	۱۰۰	۱۰۰	۱۰۰	۱۰۰
600	۲۴,۰۶	۱۴,۵۶	۸,۸۱	۲۴,۷	۱۸,۲	۱۶,۸	۱۰۰,۰۵	۱۰۰	۱۰۰	۱۰۰	۱۰۰	۱۰۰

<b>800</b>	11,49	8,52	10,88	24,2	17,7	19,2	100	100,03	100	100	100	100
<b>1000</b>	9,23	12,28	8,42	25,1	19,7	17,6	100,02	100	100	100	100	100
<b>1200</b>	8,42	9,23	10,02	25	18,5	17	100	100	100	100	100	100
<b>1400</b>	10,72	7,96	7,36	23,4	20,3	15,1	100	100	100	100	100	100
<b>1600</b>	8	9,10	9,50	24,2	18,8	18,5	100	100,01	100	100	100	100
<b>1800</b>	10,28	8,75	8,26	26,1	19,8	18,4	100	100	100	100	100	100
<b>2000</b>	7,44	10,81	8,25	26,6	19,4	14,8	100	100	100	100	100	100
<b>2200</b>	7,9	7,35	8,57	28,5	19	16,7	100	100	100	100	100	100
<b>2400</b>	7,78	7,76	8,43	27,75	20,3	16,8	100	100	100	100	100	100
<b>2600</b>	6,87	6,82	7,02	26,4	20,4	16,8	100	100	100	100	100	100
<b>2800</b>	9,09	6,56	7,19	28,7	20,2	16,4	100	100	100	100	100	100
<b>3000</b>	7,99	6,74	6,52	22,8	16,2	16,5	100	100	100,01	100	100	100
<b>میانگین</b>		<b>78,21</b>	<b>10,12</b>	<b>11,80</b>	<b>25,00</b>	<b>19,32</b>	<b>17,04</b>	<b>100,64</b>	<b>100,007</b>	<b>100,004</b>	<b>100</b>	<b>100</b>

آزمایش ۲: تعیین مقدار دقیق  $\tau$  برای الگوریتم Distributed Q-Learning - برای این منظور الگوریتم Distributed Q-Learning را به تعداد ۵۰۰ بار به ازای مقادیر مختلف  $\tau$  اجرا کرده‌ایم. نتایج آزمایشات در جدول ۳ آمده است. در جدول ۳، می‌بینیم که زمانیکه  $\tau = 0.05$  است، الگوریتم نتایج بهتری را ارائه می‌دهد. در همهٔ آزمایشات انجام شده مقدار پارامتر  $\tau$  برابر با ۰.۰۵ قرار می‌گیرد.

جدول ۳- تعیین مقدار  $\tau$  برای الگوریتم Distributed Q-Learning

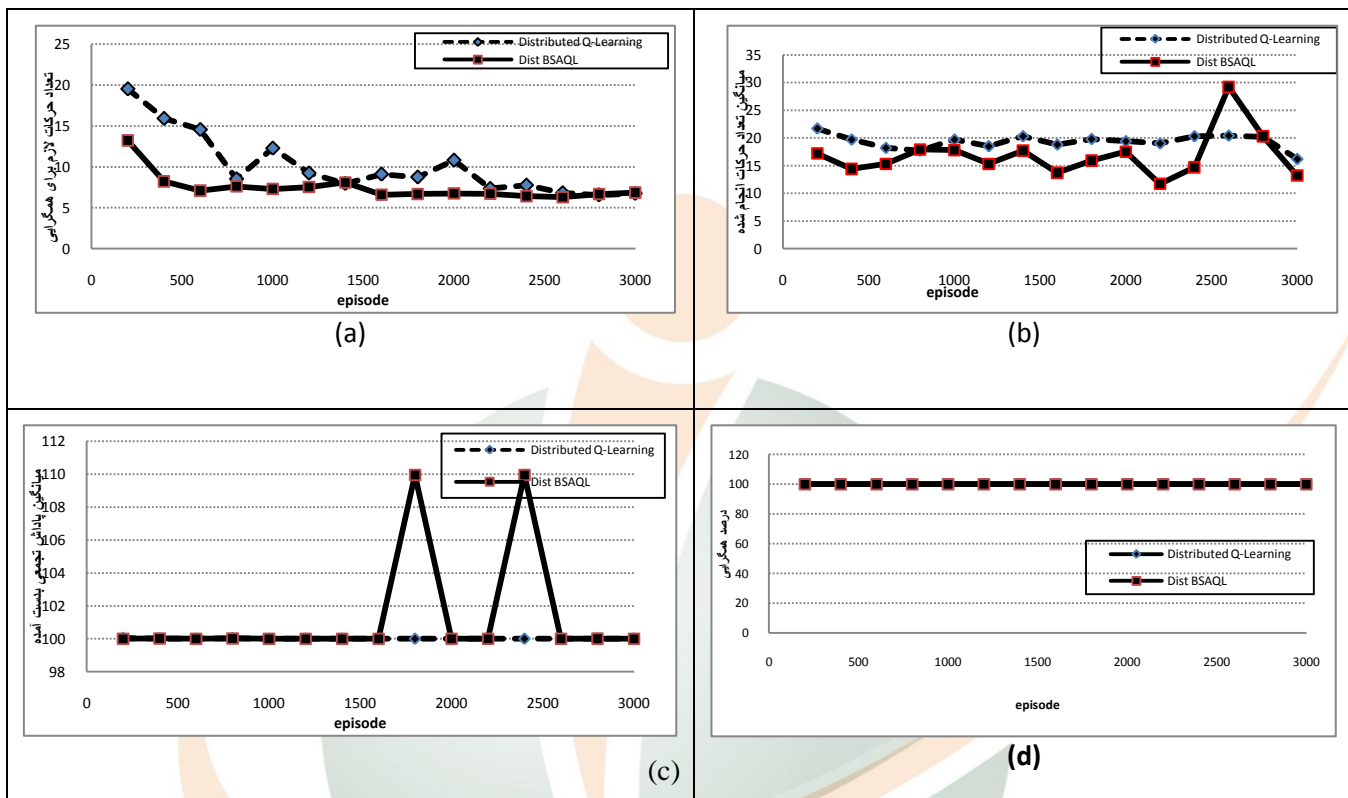
	$\tau = 5$	$\tau = 4$	$\tau = 3$	$\tau = 2$	$\tau = 1$	$\tau = 0.5$	$\tau = 0.2$	$\tau = 0.1$	$\tau = 0.05$
درصد همگرایی	100	100	100	100	100	100	100	100	100
تعداد حرکات لازم برای همگرایی	11,38	16,41	14,11	13,77	15,29	11,55	13,32	19,61	10,56

آزمایش ۳: مقایسه کارایی الگوریتم پیشنهادی با الگوریتم Distributed Q-Learning از نظر تعداد حرکات لازم برای رسیدن به هدف. برای این منظور، تعداد حرکات لازم برای همگرایی الگوریتم در مقایسه با الگوریتم دیگر مورد آزمایش قرار می‌گیرد. نمودار شکل ۶-۶ دو الگوریتم را از لحاظ تعداد حرکات لازم برای همگرایی به سمت سیاست بهینه، مقایسه می‌کند. با توجه به نمودار می‌بینیم که تعداد حرکات لازم برای همگرایی به سمت سیاست بهینه در الگوریتم پیشنهادی کمتر است. هر چه تعداد حرکات لازم برای رسیدن به سیاست بهینه، کمتر باشد، الگوریتم کاراتری خواهیم داشت.

آزمایش ۴: مقایسه کارایی الگوریتم پیشنهادی با الگوریتم Distributed Q-Learning از نظر میانگین تعداد حرکات انجام شده، در ۵۰۰ بار اجرای الگوریتم‌ها مورد ارزیابی قرار گرفته است. شکل ۶-۶ نتایج را نشان می‌دهد. با توجه به شکل دیده می‌شود که عامل برای یادگیری سیاست بهینه در الگوریتم پیشنهادی، به تعداد حرکات کمتری نیاز دارد.

آزمایش ۵: مقایسه کارایی الگوریتم پیشنهادی با الگوریتم پاداش تجمعی بدست آمده در هر اپیزود. نمودار شکل ۶-۶ الگوریتم‌ها را از لحاظ میانگین پاداش تجمعی بدست آمده در هر اپیزود، مقایسه می‌کند. هر چه میانگین پاداش تجمعی بدست آمده برای الگوریتمی بیشتر باشد، الگوریتم کاراتری خواهیم داشت. بهترین حالت زمانی است که هر دو عامل، همزمان به حالت هدف رسیده و ۲۰+ پاداش دریافت کنند. نتایج بدست آمده، حاکی از این است که الگوریتم Dist BSAQL با تعداد حرکات کمتر و بدست آوردن پاداش بیشتر، به سمت یک راه حل بهینه همگرا می‌شود و برتری الگوریتم پیشنهادی را نسبت به الگوریتم دیگر نشان می‌دهد.

آزمایش ۶: مقایسه کارایی الگوریتم پیشنهادی با الگوریتم Distributed Q-Learning از نظر درصد همگرایی به سمت پاسخ بهینه در هر اپیزود، در ۵۰۰ بار اجرای الگوریتم‌ها مورد ارزیابی قرار گرفته است. شکل ۶- d نتایج را نشان می‌دهد. با توجه به شکل دیده می‌شود که هر دو الگوریتم صد درصد موقعیت پاسخ بهینه همگرا می‌شوند.



شکل ۶- مقایسه دو الگوریتم Distributed Q-Learning و Dist BSAQL از لحاظ تعداد حرکات لازم برای رسیدن به هدف در ۵۰۰ بار اجرای الگوریتم‌ها. (a) مقایسه دو الگوریتم از لحاظ میانگین تعداد حرکات انجام شده در ۵۰۰ بار اجرای الگوریتم‌ها (c) مقایسه دو الگوریتم از لحاظ میانگین پاداش‌های بدست آمده در ۵۰۰ بار اجرای الگوریتم‌ها. (d) مقایسه دو الگوریتم از لحاظ درصد همگرایی به سمت پاسخ بهینه در ۵۰۰ بار اجرای الگوریتم‌ها.

## ۵. بررسی رفتار الگوریتم و تحلیل آن

در این بخش تحلیلی برای نحوه عملکرد الگوریتم پیشنهادی ارائه می‌شود. که در آن برتری تابع  $\pi_2(S)$  (رابطه ۳) نسبت به تابع  $\pi_1(S)$  (رابطه ۲) به طریق ۱- آزمایش و ۲- تحلیل ریاضی ارائه گردیده است. می‌خواهیم نشان دهیم که در روش پیشنهادی، تابع  $\pi_2(S) = \frac{e^{n_i Q}}{\sum_i e^{n_i Q_i}}$  به تابع  $\pi_1(S) = \frac{e^Q}{\sum_i e^Q_i}$  با سرعت بیشتری به سمت پاسخ بهینه همگرا می‌شود. به عبارت دیگر، آهنگ تغییر  $\pi_2(S)$  نسبت به  $Q$  بیشتر از آهنگ تغییر  $\pi_1(S)$  نسبت به  $Q$  است.

### ۵-۱- بررسی با استفاده از آزمایش‌های مختلف

برای نشان دادن برتری رفتار تابع انتخاب عمل پیشنهادی، الگوریتم Dist BSAQL برای حالت  $S$ . و عمل  $a_1$  با توجه به مقادیر مختلف  $n$  مورد بررسی قرار گرفته و نتایج زیر بدست آمده است.

نتیجه‌ی ۱: با توجه به نمودار شکل های ۷ و ۸ و ۹ می بینیم که با افزایش  $n$  خیلی سریعتر از رشد  $(S)$   $\pi_1(S)$  است.

نتیجه‌ی ۲: نمودار شکل ۸ و ۹ و ۱۰ نشان می دهد که با افزایش  $n$  ، مقدار تابع  $Q(S,a)$  در رابطه‌ی ۱، افزایش می‌باید.

نتیجه‌ی ۳: نمودار شکل ۱۱ نشان می دهد که با افزایش مقدار  $Q(S,a)$ ، مقدار تابع  $\pi_1(S)$  افزایش می‌باید.

از آنجاییکه همواره  $\lim_{t \rightarrow \infty} Q_t(S,a) = \infty$  است، طبق نتیجه‌ی ۲، مقدار  $Q_t(S,a)$  افزایش می‌باید و طبق نتیجه‌ی ۱، با افزایش  $n$ . تابع  $\pi_1(S)$  سریعتر از  $\pi_2(S)$  رشد می‌کند. با توجه به مطالب قبلی، نتیجه می‌شود که بایستی با افزایش مقدار  $Q_t(S,a)$  تابع  $\pi_1(S)$  سریعتر از  $\pi_2(S)$  رشد کند. نمودار شکل ۱۲ نتیجه‌ی بدست آمده را تایید می‌کند.

## ۵-۲-۲- تحلیل ریاضی

برای سادگی محاسبات توابع  $\pi_1(S)$  و  $\pi_2(S)$  را به ترتیب به صورت رابطه‌ی ۴ و ۵ بازنویسی می‌کنیم.

$$\pi_1(S) = e^{\frac{Q}{\tau}} \quad (4)$$

$$\pi_2(S) = e^{nQ} \quad (5)$$

آهنگ تغییر  $\pi_1(S)$  نسبت به  $Q$  با پارامتر  $.. . ۰۵ = \tau$  در رابطه‌ی ۶ آمده است.

$$\frac{\Delta \pi_1(S)}{\Delta Q} = \frac{1}{\tau} e^{\frac{1}{\tau}} = \frac{1}{.. . ۰۵} e^{\frac{1}{.. . ۰۵}} = ۲ \cdot e^{۲ \cdot Q} \quad (6)$$

آهنگ تغییر  $\pi_2(S)$  نسبت به  $Q$  در رابطه‌ی ۷ آمده است.

$$\frac{\Delta \pi_2(S)}{\Delta Q} = \frac{d \pi_2(S)}{dn} \times \frac{dn}{dQ}$$

$$\frac{\Delta \pi_2(S)}{\Delta Q} = Q e^{nQ} \times \frac{dn}{dQ} \quad (7)$$

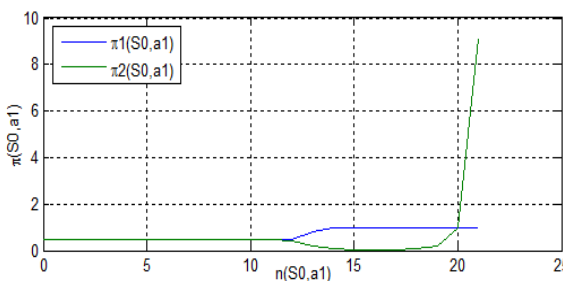
با مقایسه‌ی رابطه‌ی ۶ و ۷ نتایج زیر بدست می‌آید.

۱. تابع  $\frac{\Delta \pi_1(S)}{\Delta Q}$  همواره مثبت است. در رابطه‌ی ۶، بدلیل مثبت بودن  $Q$  مقدار تابع  $\frac{\Delta \pi_1(S)}{\Delta Q}$  همواره مثبت است.

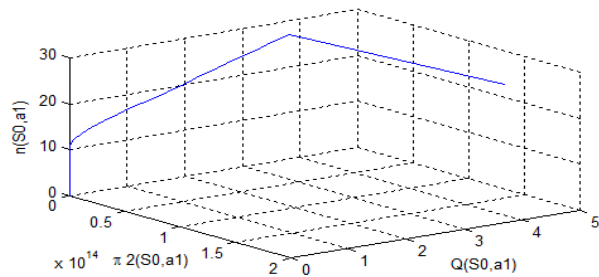
۲. تابع  $\frac{\Delta \pi_2(S)}{\Delta Q}$  همواره مثبت است. طبق نمودار شکل ۱۰ با افزایش  $n$  مقدار  $Q(S,a)$  همواره افزایش می‌باید. بنابراین  $\frac{dn}{dQ} > 0$  و از طرفی  $\frac{\Delta \pi_2(S)}{\Delta Q} > Q$  است. در نتیجه،  $\frac{\Delta \pi_2(S)}{\Delta Q}$  همواره مثبت است.

۳. آهنگ رشد  $\frac{\Delta \pi_1(S)}{\Delta Q}$  نسبت به  $\frac{\Delta \pi_2(S)}{\Delta Q}$  کمتر است.

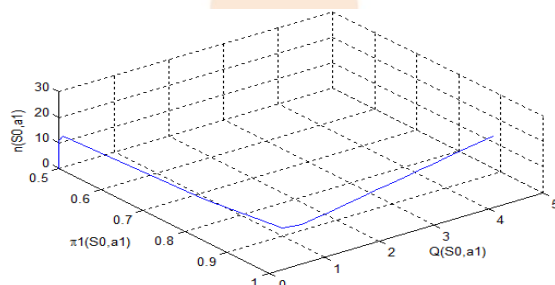
در رابطه‌ی ۶  $e^{۲ \cdot Q}$  در مقدار ثابت ۲۰ ضرب شده است، این در حالی است که در رابطه‌ی ۷،  $e^{nQ}$  در متغیر  $Q$  ضرب شده است. با افزایش  $n$ ، مقدار  $Q$  افزایش می‌باید. بنابراین، آهنگ رشد  $\frac{\Delta \pi_2(S)}{\Delta Q}$  نسبت به  $\frac{\Delta \pi_1(S)}{\Delta Q}$  کمتر است. نمودار شکل ۱۲ نیز نتیجه‌ی بدست آمده را تایید می‌کند.



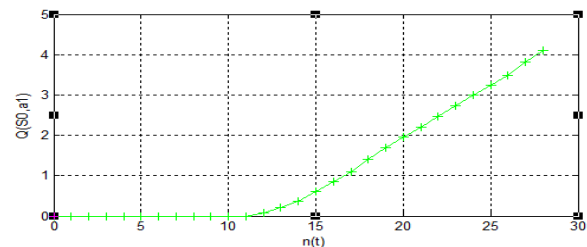
شکل ۷- بررسی رشد  $\pi_1(S)$  و  $\pi_2(S)$  بر حسب مقادیر مختلف  $n$



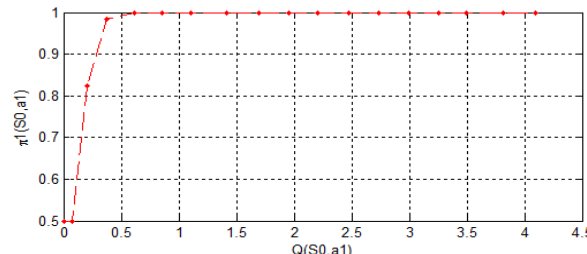
شکل ۸- بررسی رشد  $\pi_2(S)$  بر حسب مقادیر مختلف  $n$



شکل ۹- بررسی رشد  $\pi_1(S)$  بر حسب مقادیر مختلف  $n$



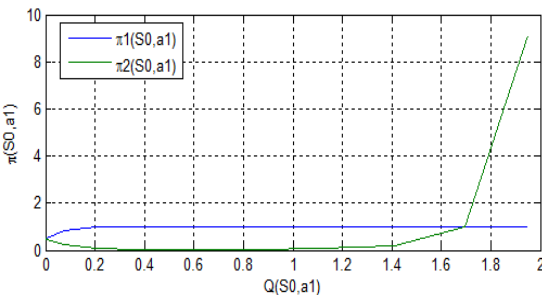
شکل ۱۰- بررسی رشد  $Q(S,a)$  بر حسب مقادیر مختلف  $n$



شکل ۱۱- بررسی رشد  $\pi_1(S)$  بر حسب مقادیر مختلف  $Q(S,a)$

ایران

کنفرانس



شکل ۱۲- بررسی رشد  $\pi_1(S)$  و  $\pi_2(S)$  بر حسب مقادیر مختلف  $Q(S, \alpha)$

## ۶. نتیجه‌گیری

در این مقاله، الگوریتم جدید Dist BSAQL برای حل بازی‌های مارکوفی بر اساس یادگیری تقویتی توزیع شده، که در آن ازتابع جدیدی برای انتخاب عمل در هر حالت استفاده شده است، ارائه گردید. نتایج بدست آمده، با الگوریتم‌های موجود مقایسه شد. بر طبق نتایج بدست آمده، الگوریتم Dist BSAQL در مقایسه با الگوریتم Distributed Q-Learning، هم از لحاظ سرعت همگرایی به پاسخ بهینه و هم از لحاظ میانگین پاداش تجمعی بدست آمده و نیز تعداد حرکات لازم برای همگرایی به سمت سیاست بهینه، از کارایی بسیار خوبی برخوردار است. بنابراین استفاده از تابع پیشنهادی، برای انتخاب عمل به جای توزیع بولتزمن پیشنهاد می‌شود.

## ۷. مراجع

- [۱] N. Vlassia; “ *A Concise Introduction to Multiagent Systems and Distributed Artificial Intelligence*”, Amsterdam:Morgan Claypool Publishe, ۲۰۰۷.
- [۲] L. Busoniu; R. Babuska and B. D. Schutter , “ *A Comperhensive Survey of Multi agent Reinforce ment Learning* ”, IEEE Transactions on Systems , MAN , and Cybernetics part C: Appilications and Reviews, Vol. ۳۸ ,No. ۲ ,March ۲۰۰۸.
- [۳] Y. Shoham; “*Multi-agent Systems: Algorithmic Game Theoretic and Logical Foundations*”, Cambridge University Press, ۲۰۰۹.
- [۴] C. Boutilier; “*Sequential optimality and coordination in multi-agent systems*”, In Proceedings of the ۱۶th International Joint Conference on Artificial intelligence , Volume ۱, Morgan Kaufmann Publishers Inc. , Stockholm, Sweden, ۱۹۹۹.
- [۵] J. Hu and M. P. Wellman, “*Nash Q-Learning for General-Sum Stochastic Games*”, Journal of Machine Learning Research, vol. ۴, pp. ۱۰۳۹-۱۰۶۹, ۲۰۰۳.
- [۶] M. Littman; “*Markov Games as a Framework for Multi-agent Reinforcement Learning*”, in: ۱۱th Int. Conf. on Machine Learning, San Francisco, Morgan Kaufmann, pp. ۱۵۷-۱۶۳, ۱۹۹۴.
- [۷] K. Tuyls; A. Nowe; T. Lenaerts; and B. Manderick . “*An Evolutionary Game Theoretic perspective on Learning in Multi-Agent Systems*”. *Synthese, section Knowledge, Rationality and Action*, ۱۳۹, issue ۲:۲۹۷-۳۳۰, ۲۰۰۴.
- [۸] L. Matignon; G. Laurent; N. Le Fort-Piat , “*Coordination of independent learners in cooperative Markov games.*”,Thechnical Report , Institute FEMTO-ST, May ۲۰۰۹.
- [۹] M. Littman , “*Markov Games as a Framework for Multi agent Reinforcement Learning*” , In ۱۱th International Conference on Machine Learning , San Fransisco , Morgan Kaufmann , pp. ۱۵۷-۱۶۳, ۱۹۹۴.
- [۱۰] M. Song ; G. Gu and G. Zhang , “*Pareto\_Q Learning Algorithm for Cooperative Agents in General Sum Games*”, In Multiagent Systems and Applications , Vol. ۳۱۹ : Springer, Berlin/Heidelberg , pp. ۵۷۶-۵۷۸ , ۲۰۰۵.
- [۱۱] M. Laur ; M. Reidmiller ; “*An Algorithm for Distributed Reinforcement Learning in Cooperative Multi-agent Systems*” , In proc. ۱۹<sup>th</sup> ICML ,Morgan Kaufmann , San Francisco ,CA , pp. ۵۴۵-۵۶۴, ۲۰۰۱.
- [۱۲] S. Kapetanakis and D.Kudenko , “*Reinforcement Learning of Coordination in Heterogenous Cooperative Multi-agent Systems*” , In proc. Of AAMAS '۰۴ ,PP. ۱۲۰۸-۱۲۰۹ , ۲۰۰۴.
- [۱۳] M. Lauer and M. Riedmiller, “*Reinforcement Learning for Stochastic cooperative Multi-agent Systems*”, In Proceeding of AAMAS ۲۰۰۴, New York , NY, ACM Press , pp. ۱۵۱۴-۱۵۱۵ , July ۲۰۰۴.
- [۱۴] Richard S. Sutton ; Andrew G. Barto, “*Reinforcement Learning:An Introduction*” , The MIT Press, London , ۱۹۸۹.
- [۱۵] L. Matignon; G. J. Lauent and N. L.Front-piat , “*Hysteretic Q-Learning : An Algorithm for Decentralized Reinforcement Learning in Cooperative Multi-agent Teams*” , In Poceedings of IEEE/RSJ International Conference on Intelligence Robots and Systems IROS ,San diego , CA , USA, PP. ۶۴-۶۹,Nov. ۲۰۰۷.
- [۱۶] T. Gabel and M. Riedmiller, “*CBR for state value function Approximation in Reinforcement Learning*”, Proceeding of the Inter. Conference on Case Based Learning ۲۰۰۰ (ICCBR ۲۰۰۰) , Springer , Chicago, USA, Aug ۲۰۰۰.

- [۱۷] K. Tumer;A. K. Agogino, and D. H. Wolpert, “*Learning sequences of Actions in Collectives of Autonomous Agents*”, Proceedings of the International Conference on Autonomous Agents, No. ۲, pp. ۳۷۸–۳۸۵, ۲۰۰۲.

- 
- \ Multi agent Systems
  - \ Reinforcement Learning
  - \ Robustness
  - \ Independent Learner(IL)
  - \ Joint Action Learner(JAL)
  - \ Markov games
  - \ Markov Decision Process
  - \ Cooperative
  - \ Non-cooperative
  - \ Zero-sum Games
  - \ General-sum Games
  - \ Equilibrium points
  - \ Nash Equilibrium
  - \ Value Function
  - \ Markov Decision Process
  - \ Exploration Policy



# کنفرانس داده کاوی ایران